

《講 座》

統 計 的 推 論 (3)

——計量データでの平均値を主とした扱い、直線のあてはめを中心とした最小2乗法、非線形モデルでの最小2乗法（コンパートメント説を例にして）

佐 久 間 昭*

15. 不 偏 分 散

計量データ $x \in \Pi\{\mu, \sigma^2\} \rightarrow O_n\{x_i\}$ につき、節5では、 σ^2 が既知であるとして、 μ について推論し、検定や推定につき、

$$t_0 = \frac{|\bar{x} - \mu_0|}{\sigma} \sqrt{n}$$

$$\mu_L^U = \bar{x} \pm t_a[\infty] \frac{\sigma}{\sqrt{n}}$$
(59)

を求めた ($y \in \Pi\{\eta, \sigma^2\} \rightarrow O_n\{y_i\}$ の表記を用いた)。現実には、 σ^2 が未知というのが普通で、標本の値だけで、 σ^2 に代わるものを見る必要がある。

$$V = \frac{\sum_{i=1}^n (x_i - \bar{x})^2}{n-1}$$
(60)

を求めるとき、 $E\{V\} = \sigma^2$ 、つまり V を平均的にみれば σ^2 になる性質があるので、 V を不偏分散推定量といい、具体的に求めた値を不偏分散推定値という。単に不偏分散とか分散ということも多い。 $E\{x\} = \mu$ 、 $V\{x\} = \sigma^2$ といった演算子が、しばしば使われ、それぞれ、平均値と分散を示す。

直観的には、

$$V^* = \frac{\sum (x_i - \bar{x})^2}{n}$$

がよさそうであるが、 $E\{V^*\} < \sigma^2$ となり、小さく偏っている。

V の分子は展開するとわかるが、 $\sum (x_i - \bar{x})^2$ を直接に求めないので、

$$S_{xx} = \sum_{i=1}^n x_i^2 - \frac{\left(\sum_{i=1}^n x_i\right)^2}{n}$$

$$= \sum_{i=1}^n x_i^2 - n\bar{x}^2$$
(61)

として求める方がよい。 S_{xx} を（偏差）平方和と呼んで、 $(\sum x_i)^2/n = n\bar{x}^2$ を修正項 CF という。 S_{xx} の脚符 xx は、 x の2乗の感じを示すものである。 $\sum x_i^2$ では大きすぎるので、平均値に関して $n\bar{x}^2$ の修正を加えているため、修正項の名がある。 V の分母の $(n-1)$ は自由度と呼ばれ、2乗の項がいくつあるか、つまり、 $\sum x_i^2$ が n 個、これから $n\bar{x}^2$ を引いて $(n-1)$ 個あることを示すと考えておくとよい。

対になったデータ (x_i, y_i) について、（偏差）積和として、

$$S_{xy} = \sum (x - \bar{x})(y - \bar{y})$$

$$= \sum x_i y_i - \frac{(\sum x_i)(\sum y_i)}{n}$$

$$= \sum x_i y_i - n\bar{x}\bar{y}$$
(62)

が定義されているが、 $x_i = y_i$ となった特殊なケースが式(61)の S_{xx} である。 S_{xy} は、 x_i と y_i との、かかわり、もう少し正確にいえば、直線的なかかわりを示す量で、これを規準化すると、

$$r = \frac{S_{xy}}{\sqrt{S_{xx} S_{yy}}}$$
(63)

で、（単）相関係数という。 $x_i = y_i$ では $r=1$ である。 S_{xx}, S_{yy} は平方和のとおり、負にはならないが、 S_{xy} したがって r は負にもなる。 $x_i = -y_i$ では、 $r=-1$ となる（→節21）。

* 東京医科歯科大学難治疾患研究所臨床薬理学部門

【例 12】

$O_5\{4, 7, 9, 11, 14\}$ について、 $\bar{x} = 45/5 = 9.0$, $\sum x_i^2 = 463$ である。

$$S_{xx} = 463 - 5 \times 81 = 58$$

$x_i^* = x_i - 10$ とすれば、 $O_5^*\{-6, -3, -1, 1, 4\}$ で、
 $\bar{x}^* = -5/5 = -1$, $\sum x_i^{*2} = 63$ で、

$$S_{x^*x^*} = 63 - 5 \times (-1)^2 = 58$$

となる。一般に、 $x_i^* = ax_i + b$ とおくと、

$$S_{x^*x^*} = a^2 S_{xx}$$

となり、 b は関係しない。

分散 σ^2 未知の場合には、少し手間がかかるが、
 $O_n\{x_i\}$ の標本の値だけから V を求めたうえ、式
(59) の σ には \sqrt{V} を用いることができる。しかし、
 S/N 比について、

$$t_0 = \frac{|\bar{x} - \mu_0|}{\sqrt{V}} \sqrt{n} \quad (64)$$

をつくると、 $H_0: \mu = \mu_0$ の条件下に、 t_0 は $t \in N\{0, 1^2\}$ の実現値にはならない。

$x \in N\{\mu, \sigma^2\} \rightarrow O_n\{x_i\}$ の標本に関して、 $H_0: \mu = \mu_0$ のもとに、式 (64) の t_0 は、自由度 $[n-1]$ の Student の t 分布の実現値となる。このため、式 (64) の扱いにあたり、つぎのような注意が必要になる。すなわち、平均値の議論にあたっては、

1) $x \in N\{\mu, \sigma^2\}$ と、正規分布にしたがわない場合、分布がほぼ対称であれば、 n が 5~10 をこえるあたりから、分布がやや歪んでいるならば、 n が 15~30 をこえるあたりからは、 $x \in N\{\mu, \sigma^2\}$ の正規分布での議論が利用できる。

2) 分散未知の場合、 $O_n\{x_i\}$ で求めた $V = S_{xx}/(n-1)$ を σ^2 の代わりに用いると、正規偏位 $t_\alpha[\infty]$ に関する議論を、Student の t 分布での限界値 $t_\alpha[n-1] (> t_\alpha[\infty])$ に関する議論におきかえることができる。

16. 平均値の推論

$x \in N\{\mu, \sigma^2\} \rightarrow O_n\{x_i\}$ につき、 n がある程度の

大きさであれば、 $H_0: \mu = \mu_0$, $H_1: \mu = \mu_1 \neq \mu_0$ の検定にあたり、

$$\begin{aligned} S_{xx} &= \sum x_i^2 - \frac{(\sum x_i)^2}{n} = \sum x_i^2 - n\bar{x}^2 \\ V &= \frac{S_{xx}}{n-1} \\ t_0 &= \frac{|\bar{x} - \mu_0|}{\sqrt{V}} \sqrt{n} \end{aligned} \quad (65)$$

を求める、自由度 $[n-1]$ の t 分布での限界値と比べて $t_0 \geq t_\alpha[n-1]$ となれば、水準 α で有意とし、 H_0 を捨てて、 H_1 を採用する。

平均値の $100(1-\alpha)\%$ の信頼限界は、

$$\mu_L^U = \bar{x} \pm t_\alpha[n-1] \sqrt{\frac{V}{n}} \quad (66)$$

となる。

いずれの場合も、 σ を \sqrt{V} でおきかえ、 $t_\alpha[\infty]$ を $t_\alpha[n-1]$ でおきかえて、形式的には分散既知の節 5 の議論が利用できる。

$x \in N\{\mu, \sigma^2\}$ の分布型に問題がある場合、ノンパラメトリック手法、ノンパラ手法を用いることが多い。これには、いくつかの方法があるが、代表的なものをあげておく。

まず、 $O_n\{x_i\}$ を $x_{(1)} < x_{(2)} < \dots < x_{(i)} < \dots < x_{(n)}$ と大きさの順に並べ、順位をつける。ときに同位 $x_{(i)} = x_{(i+1)} = \dots = x_{(i+t-1)}$ があれば、これらには平均順位、

$$\bar{r} = (i-1) + \frac{t+1}{2} \quad (67)$$

を与える。つまり、第 i から始まる t 個の同位には、すべて \bar{r} を与える。これによって全体の順位和 T_G は $n(n+1)/2$ に保たれる。この辺は節 14 の式 (56) と同じ要領である。

つぎに、

$$m = \frac{n+1}{2}$$

を求める、 $\bar{x}' = x_{(m)}$ とする。つまり、第 m 番目のデータを \bar{x}' とし、これを中央値 median とするが、母集団でちょうど真中に位置する μ' の推定値に

なる。分布が対称ならば $\mu=\mu'$ であるが、歪んだ分布では、 μ' の方が代表性の意味が強いだろう。

(i) n が奇数ならば $\bar{x}'=x_{(m)}$ が直ちに求まるが、(ii) n が偶数ならば $\bar{x}'=(x_{(m-0.5)}+x_{(m+0.5)})/2$ と約束する。

中央値の信頼限界を求めるには、

$$r = \frac{n+1}{2} - \frac{t_\alpha[\infty]}{2} \sqrt{n} \quad (68)$$

を計算し、 r は整数または整数 +0.5 と半整数に切り捨てた値とする。95%信頼係数では、 $r=m-\sqrt{n}$ としてよからう。そのうえで、小さい方、大きい方から r 番目の値を探し、

$$\mu'_{L^U} = x_{(r)}; x_{(n+1-r)} \quad (69)$$

を信頼限界とする。

$H_0: \mu'=\mu'_0$, $H_1: \mu'=\mu'_1 \neq \mu'_0$ の中心位置のずれの検定に相当するものに、Wilcoxon の 1 標本検定、符号つき順位検定がある。まず $O_n\{x_i\}$ につき、 $(x_i-\mu'_0)$ をつくり、0 のものを除いて、あらためて n を定める。絶対値 $|x_i-\mu'_0|$ に関して順位づけを行ない、同位があれば平均順位を与える。そのうえで、正のものと負のものに分けて順位和 T_+ , T_- をとり、 $T_++T_-=T_G=n(n+1)/2$ を確かめる。

$$A = \frac{1}{2}T_G, \quad K = 2n(n+1)(2n+1)$$

$$\kappa = 1 - \frac{\sum(t^3-t)}{K} \quad (70)$$

$$t_0 = \frac{|T-A|-0.5}{\sqrt{\frac{\kappa}{48}K}}$$

を計算するが、 κ の $\sum(t^3-t)$ は、同位のグループが、あちらこちらにあれば、それぞれにつき $(t^3-t)=(t-1)t(t+1)$ を求めて加える。 t_0 の T は、 T_+ , T_- のどちらを用いてもよい。 $t_0 \geq t_\alpha[\infty]$ のとき水準 α で有意とし、中心位置のずれを認める。 $t_0 > 2$ のときには、分子の 0.5 を省いて計算しなおして t_0^* とすれば、実質水準をみる場合に、 t_0^* の方が近似がよい。 κ は、同位によって、ノイズが小さくなるための修正を意味し、同位がなければ $\kappa=1$ となる。

【例 13】
 $O_{11}\{1, -1, 2, 3, 0, 1, 2, 1, 3, 2, 1\}$ につき $\bar{x}=15/11=1.3636$, $\sum x_i^2=35$, $S_{xx}=14.5455$, $V=1.4545$, $SD=\sqrt{V}=1.2060$, $SE\{\bar{x}\}=\sqrt{V/n}=0.3636$ などとなる。

$H_0: \mu=\mu_0=0$, $H_1: \mu=\mu_1 \neq 0$ の検定は、

$$t_0 = \frac{1.3636-0}{0.3636} = 3.750 > t_{0.05}[10] = 2.228$$

で有意となる。95% 信頼限界は、

$$\mu'_{L^U} = 1.3636 \pm 2.228 \times 0.3636 = 0.554; 2.174$$

Wilcoxon の 1 標本検定では、 $\mu_0=0$ を引いても $O_n\{x_i\}$ はそのままであるが、 $x=0$ を除いた 10 個につき、絶対値に順位づけをし、

$$R_{10}\{3, 3, 3, 3, 3, 7, 7, 7, 9.5, 9.5\}$$

で $T_-=3$, $T_+=52$, $T_G=55=10 \times 11/2$. $t=5$, $t=3$, $t=2$ の同位が 1 組ずつあることに注意して、 $A=27.5$, $K=4620$, $\kappa=0.9675$.

$$t_0 = \frac{|3-27.5|-0.5}{\sqrt{\frac{0.9675}{48} \times 4620}} \\ = 2.487 > t_{0.05}[\infty] = 1.960$$

$$t_0^* = 2.539$$

となり、5% 水準で有意となり、母集団の中心位置は $\mu_0=0$ からずれており、大きい。

との $n=11$ につき、 $m=12/2=6$ で、第 6 番目の値を中央値 $\bar{x}'=1$ とする。95% 信頼限界を求めるため、 $r=6-\sqrt{11}=2.5$ と切りすぎて、 $\mu'_{L^U}=(0+1)/2=0.5$; $\mu'_{U^L}=(2+3)/2=2.5$ を得る。

一般に、 $x \in N\{\mu, \sigma^2\}$ と正規性がある場合にノンパラ手法を用いるとき効率、感度がおちる。Wilcoxon の 1 標本検定は、しかし、 t 分布を用いたいわゆる t 検定に比べて、それほど感度は悪くない。ここで用いた中央値の信頼限界の推定法は、信頼間幅が、 t 分布の利用の場合よりも少し広く

なるが、 n が小さいときには、それほど感度はおちない。

17. 2つの平均値

対応のない2群データ、 $O_m\{x_i\}, O_n\{y_i\}$ について、母平均値 μ, η の比較にあたり、

$$V_x = \frac{S_{xx}}{m-1}, \quad V_y = \frac{S_{yy}}{n-1}$$

を求める、 $V_x \geq V_y$ とする。 $V_x < V_y$ となつたら、 x と y を交換して扱う。F 分布を利用し、

$$F_0 = \frac{V_x}{V_y} < F_{0.025}[m-1, n-1] \quad (71)$$

となれば、消極的に両群の分散は等しいとして、以下の手法が利用できる、 F_0 は、等分散のときには、1よりもひどく大きくはならない性質の、2乗の形式の S/N 比である。分子と分母につき、それぞれ第1、第2自由度であるが、その水準 2.5% の限界値と F_0 を比べる。

不等分散のとき、 \bar{x} なり \bar{y} なりの平均値によって分散 V_x, V_y が変化するという場合がある。分散が $k\mu$ の傾向のときには、 $\sqrt{x+0.25}; k\mu^2$ の傾向のときには $\log x$ ないし $\log(x+1)$ などに変換して扱うとほぼ等分散になるが、この変換値での差の意味を、あらためて考える必要がある。

等分散の場合、共通の分散を求めるおして、平均値の差を吟味するが、検定の S/N 比である t_0 なり、信頼限界の係数 t_α なりは、自由度 $[m+n-2]$ で考える。つまり、共通の分散 V の分子は、 $(m-1)+(n-1)$ の2乗項からできている。

$$V = \frac{S_{xx} + S_{yy}}{m+n-2} = \frac{\sum x_i^2 - n\bar{x}^2 + \sum y_j^2 - n\bar{y}^2}{m+n-2}$$

$$t_0 = \frac{|\bar{x} - \bar{y}| - \delta_0}{\sqrt{V\left(\frac{1}{m} + \frac{1}{n}\right)}} \quad (72)$$

$$\delta_L^U = (\bar{x} - \bar{y}) \pm t_\alpha[m+n-2] \sqrt{V\left(\frac{1}{m} + \frac{1}{n}\right)}$$

t_0, δ_L^U の $\sqrt{V(1/m+1/n)}$ は、差 $(\bar{x} - \bar{y})$ のノイズ $SE\{\bar{x} - \bar{y}\}$ である。 t_0 は、 $H_0: \mu - \eta = \delta = \delta_0$ に

ついて書いたもので、2群に差ありや、の場合には $H_0: \mu = \eta, \delta_0 = 0$ となるので、 t_0 の δ_0 を省略することになる。

なお、2標本 t 検定で、水準 0.05 の付近では、節5の式(19)にあたる、検定特性の式は、近似的に、

$$\lambda = \frac{\delta}{\sigma} \div \sqrt{\frac{m+n-2}{(m-1)(n-1)} (t_\alpha[\infty] + t_\beta[\infty])} \quad (73)$$

となる。

ノンパラ手法で、対応のない2群の中央値の差の推定を行なうには、各群の中央値 \bar{x}', \bar{y}' を求めたうえ、点推定を $d' = \bar{x}' - \bar{y}'$ とする。ついで、近似的な区間推定では、

$$w = \frac{t_\alpha[\infty]}{2} \sqrt{\frac{mn}{m+n}}, \quad w = \sqrt{\frac{mn}{m+n}} (95\%) \quad (74)$$

を求める、 O_m で $(m+1)/2 \pm w = r_1; r_2, O_n$ で $(n+1)/2 \pm w = s_1; s_2$ を求めたうえ、

$$\delta'_L^U = x_{(r_1)} - y_{(s_1)}; x_{(r_2)} - y_{(s_2)} \quad (75)$$

とすればよい。

効率のよい2標本検定として、Wilcoxon の2標本検定があるが、まず、両群をこみにして順位づけをしたうえ、各群の順位和を求めて S/N をつくるものであるが、節14の後半に記した。この方法は、平均値というよりも、中心位置の比較であり、データの分布についての注文は少ない。

【例 14】

$O_6\{48, 54, 51, 42, 46, 49\}, O_5\{47, 59, 55, 53, 58\}$ につき $\bar{x} = 48.3333, S_{xx} = 85.3333, V_x = 17.0667, \bar{y} = 54.4000, S_{yy} = 91.2000, V_y = 22.8000. F_0 = V_y/V_x < F_{0.025}[4, 5] = 7.388$ で等分散とみて、

$$SE\{\bar{x} - \bar{y}\} = \sqrt{19.6148\left(\frac{11}{30}\right)} = 2.682$$

$$t_0 = \frac{|48.3333 - 54.4000|}{2.682} = \frac{6.0667}{2.682}$$

で、 $t_{0.05}[9] = 2.262$ と同じく、ちょうど 5% で有意。引き算を $\bar{y} - \bar{x}$ とおきなおし、

$$\delta_{L^U} = 6.0667 \pm 2.262 \times 2.682 = 0; 12.133$$

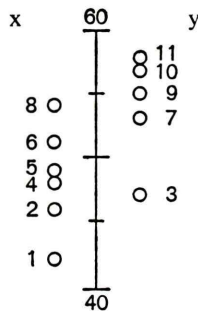
検定と推定が裏腹になっている。

中央値は $\bar{x}'=48.5$, $\bar{y}'=55$ で, 差は $d'= -6.5$ となる。 $w=\sqrt{30/11}=1.65$ であるから, $r_1=1.5$, $r_2=5$; $s_1=4.5$, $s_2=1$ としたうえ,

$$\begin{aligned}\delta'_{L^U} &= 44 - 58.5; 51 - 47 \\ &= -14.5; 4\end{aligned}$$

となるが, $\bar{y}'-\bar{x}'$ の差では $6.5(-4; 14.5)$ となり, 信頼間幅は, かなり広い。

両群のデータを, タテ軸の左右にプロットして順位をつける。



$R_6\{1, 2, 4, 5, 6, 8\}$, $R_5\{3, 7, 9, 10, 11\}$ の順位データとなるが, 同位はない。 $T_6=26$, $T_5=40$, $T_G=66=11 \times 12/2$ である。 T_6 に着目して, 式(57)から $n_{1.}, n_{2.}$ を m, n と読みかえたうえ, $A=66 \times 6/11=36$ を用い,

$$t_0 = \frac{|26-36|-0.5}{\sqrt{\frac{1}{6} \times 5 \times 36}} = 1.734 < t_{0.05}[\infty] = 1.960$$

で, 5% 水準で有意ではなく, 両群の中心位置にずれがあるとは言いかねる。 $t_0=1.734$ の実質水準は $P=0.083$ である。組み合わせの議論から直接に確率計算をすると, $P=0.0823$ となり, t_0 の近似はよい。

2標本t検定では5%で有意となったが, Wilcoxonの2標本検定では有意にならない。一つには, 順位検定の検出力が劣っていたことによるのであろうが, 5%ぎりぎりで有意であったので, より強い確信を求めるには, 再試験を必要とする

であろう。

$\lambda=1.5$ 程度を現実的に意味のある差と考えていたとすれば, 式(73)から,

$$\begin{aligned}1.5 &= \sqrt{0.45}(1.960) + t_{2\beta}[\infty] \\ t_{2\beta} &= 0.276\end{aligned}$$

となり, $\beta \approx 0.4$ で, この例数設計では, 検出力60%となり, そもそも, 少なすぎていた。本来1.5 σ 程度の差を90%で検出するには, 各群とも9~10例を用いることが手堅かったといえる。

式(71)で, 不等分散と判断されたときには, 2標本t検定の手法は利用できなくなる。 $m=n$ のときには, 形式的に等分散としての式(72)を用いるが, $t_0 \geq t_a[n-1]$ のとき有意とする。

$m < n$ と例数が不揃いのときには

$$t_0 = \frac{|\bar{x}-\bar{y}| - \delta_0}{\sqrt{\frac{V_x}{m} + \frac{V_y}{n}}} \quad (76)$$

を求めたうえ,

- (1) $t_0 < t_2[m+n-2]$ では有意ではない,
- (2) $t_0 > t_a[m-1]$ では有意である,
- (3) 以上で未決定なら, t_0 を重みづけをした

$$t_a^* = \frac{\frac{V_x}{m} t_a[m-1] + \frac{V_y}{n} t_a[n-1]}{\frac{V_x}{m} + \frac{V_y}{n}} \quad (77)$$

と比べて判断する。この方法は Cochran によるものであるが, 他にも方法がある。

ときに, η/μ の比に关心をもつことがある。等分散の扱いができるときには,

$$\begin{aligned}g &= \left\{ \frac{t_a[m+n-2]}{\bar{x}} \right\}^2 \frac{V}{m} \\ \rho_{L^U} &= \frac{1}{1-g} \left\{ \left(\frac{\bar{y}}{\bar{x}} \right) \pm \frac{\bar{x}}{t_a[m+n-2]} \times \right. \\ &\quad \left. \sqrt{V \left[\left(\frac{\bar{y}}{\bar{x}} \right)^2 \frac{1}{m} + \frac{1-g}{n} \right]} \right\} \quad (78)\end{aligned}$$

によって比の信頼限界が与えられるが, $g < 0.1$ では $g=0$ とおいてよいとされる。式(78)は, Fieller

の式と呼ばれるもの一つである。

【例 15】

例14の $O_a\{x_i\}, O_b\{y_j\}$ のデータでは $r = \bar{y}/\bar{x} = 1.1255$ となる。 $g = 0.0072$ であるが、これを省略しないで式(78)を用いると、

$$\rho_{L^U} = \frac{1}{0.9928} [1.1255 \pm 0.1327] = 1.000; 1.267$$

となる。比が 1 は差が 0 に対応する。

18. 実験計画法

観測値 y が、いくつかの原因系で左右され、また、確率的なゆらぎに影響されるという考え方のもとに、節 7 では、モデルをつくって考察した。モデルを一般的に書けば、

$$y_i = \beta_0 + \beta_1 x_{i1} + \cdots + \beta_p x_{ip} + \varepsilon_i \quad (79)$$

といかめしくなるが、線形モデルと呼ばれるものになる。

対応のない 2 群比較で、 $O_m\{x_i\}, O_n\{y_j\}$ としたが、これらを一括して $O_{m+n}\{y_i\}$ と表現し、 y_i が第 1 群なら x_{i1} は 1, x_{i2} は 0 となり、 y_i が第 2 群なら x_{i1} は 0, x_{i2} は 1 となる約束をわけば、

$$y_i = \beta_0 + \beta_1 x_{i1} + \beta_2 x_{i2} + \varepsilon_i \quad (80)$$

のモデルになり、第 1 群、第 2 群の母平均値は $(\beta_0 + \beta_1), (\beta_0 + \beta_2)$ となる。 β_0 を全体の平均値とすれば、 β_1, β_2 は、この β_0 からのずれになり、両群の平均値の差が δ なら、 β_1, β_2 は $\pm \delta/2$ となる。

一方、ある個体の特性、たとえば年齢 x_i が y_i に直接的に影響するなら、これを共変数、説明変数といい、 y_i を目的変数という。

$$y_i = \beta_0 + \beta_1 x_i + \varepsilon_i \quad (81)$$

が、この際のモデルになり、 $P_i\{x_i, y_i\}$ のプロットに直線を通したときの切片が β_0 、勾配が β_1 になる。これも式(79)の特殊な場合とみられる。

線形モデル式(79)は一貫して、最小 2 乗法の原理で処理できるが、実際上は、 x_{ij} の性質によっ

て区別して扱う習慣がある。

1) 分散分析 ANOVA では、 x_{ij} は本質的に 1 か 0 をとり、 β_1 が y_i の変動の原因系になっていいか、いいいかの指標となる。

2) 回帰分析 REGAN では、 x_{ij} は独立変数的であり、目的変数 y_i の変動を説明している性格になる。普通は x_{ij} を留めて、 y_i を変量として扱う。

3) 共分散分析 ANOCVA では、 x_{ij} の一部は指標的、一部は独立変数的であり、この共変数の影響を除いて y_i の議論をしたり、また共変数そのものの性質を検討したりの場合に利用される。

こうした線形モデルの性質を基盤に、転がりこんでくるデータを待つという態度よりも、積極的に現場に働きかけて、データを取りにいくという態度を重視して組み立てられたものが、実験計画法と呼ばれている体系であり、R. A. Fisher の思想の上に発展した。

実質科学的に重要な原因系のいくつかを因子として取りあげ、これを因子水準として小わけし、観測特性との関係において、水準間の比較、因子相互のかかわりなどを、実施可能な範囲で、経済的に、正しく、感度よく捉えることをねらう。

- (1) 観測特性、必要なら共変数を指定し、観測条件、方法を明確にする。
- (2) 観測の単位を定め、必要に応じて、反応性の類似した単位の集合をブロックとする。
- (3) 必要な因子を定め、定量的、半定量的、定性的な水準を設けるが、研究目的の因子、偏り防止の因子、誤差制御の因子、手法上のダミー因子などが区別される。
- (4) 因子水準そのもの、異なった因子間の水準の組合せを処理といい、具体的に取りあげる処理を定め、これと観測単位との対応、割りつけを合理的に決める。
- (5) こうして、正当な推論を行なうにふさわしい解析方法、例数と実施可能性を検討し、必要なら、(1)に戻って再吟味する。

19. 分散分析

対応のない 2 群比較を多群に拡張し、a 水準の

処理 $A_1, \dots, A_i, \dots, A_a$ につき、それぞれ r 回の同数観測を行なう。ただし、 $n=ar$ の観測単位に、 A_1, \dots, A_a を無作為に割りつけるものとする。

A_1	$y_{11} \dots y_{1j} \dots y_{1r}$	T_1
\vdots	\vdots	\vdots
A_i	$y_{i1} \dots y_{ij} \dots y_{ir}$	T_i
\vdots	\vdots	\vdots
A_a	$y_{a1} \dots y_{aj} \dots y_{ar}$	T_a

$$T_G = \sum_{i=1}^a T_i$$

$$y = \frac{T_G}{ar}$$

この形式のデータは、1因子完全無作為化法によるものであるが、 A という因子で分類されている観点から一元配置のデータと呼んでいることが多い。

y_{ij} は、第 i 水準 A_i のたまたま第 j 番目の観測値である。各水準での和 T_i は、 $r\bar{y}_i$ で、 A_i の効果の平均値を反映するシグナルである。各 A_i 内でのデータは等分散であるとすれば、これらのばらつきをプールしたものは、同じ処理でのばらつきであるから、ノイズにほかならない。そこで、 $T_i=r\bar{y}_i$ 間のばらつきをシグナルとしてまとめ、 S/N 比にもっていこうというのが、一元配置の解析方針である。

第 i 処理のデータについては、

$$y_{ij} = (\beta_0 + \beta_i) + \varepsilon_{ij}$$

で、 $x_{ij}=1$ であるが、他の β_1, \dots, β_a に関する指標変数は、すべて 0 となっている。

計算手順から示すと、

$$CF = \frac{T_G^2}{ar}$$

$$S_{AR} = \sum_i \sum_j y_{ij}^2 - CF \quad [ar-1]$$

$$S_A = \frac{1}{r} \sum_i T_i^2 - CF \quad [a-1] \quad (82)$$

$$S_{R(A)} = S_{AR} - S_A \quad [a(r-1)]$$

ここに、 S_{AR} は全体、 S_A は処理、 $S_{R(A)}$ は誤差相当の残差に関する平方和であり、

$$\sum_i \sum_j (y_{ij} - \bar{y})^2 = r \sum_i (\bar{y}_i - \bar{\bar{y}})^2 + \sum_i \sum_j (y_{ij} - \bar{y}_i)^2$$

のそれぞれに対応しているが、式(82)の計算法が

簡単である。ここで重要なことは、平方和と、それに対する自由度の双方に、加法性、

$$S_{AR} = S_A + S_{R(A)} \quad (83)$$

$$[ar-1] = [a-1] + [r(a-1)]$$

が成立する点にある。

ついで、 $V_A = S_A/(a-1)$, $V_{R(A)} = S_{R(A)}/(ar-a)$ と、平方和／自由度として、分散を求めたとき、 $V_{R(A)}$ は、各処理群内のばらつき ε に関係した誤差分散 σ^2 を推定するが、 V_A は、 σ^2 と各処理群間のばらつきに関係した σ_A^2 の 2 つの要素から成る。

H_0 : A_1, \dots, A_a の処理効果は一様、 H_1 : 少なくとも一つは他と異なる、とおいたとき、 H_0 が正しいなら $\sigma_A^2 = 0$ となるから、

$$F_0 = \frac{V_A}{V_{R(A)}} \quad (84)$$

の分散比は、本質的には σ^2/σ^2 で、1を大きくこえることはあるまい。100回のうち、たかだか5回程度はこえるかもしれないという、 F_0 の限界値が、 $F_{0.05}[(a-1), (ar-a)]$ である。そこで、 F_0 がこれより大になれば、5%水準で有意とし、 H_0 : 効果の一様性をすべて、 $\sigma_A^2 \neq 0$ と考え、 H_1 : 少なくとも1つの処理は他と異なると考える。

式(82)の値は、分散分析表として整理されるが、 M_s は平均平方和で、分散を指す。

要因	SS	Df	M_s	F_0
A: 処理	S_A	$a-1$	V_A	$V_A/V_{R(A)}$
R(A): 残差	$S_{R(A)}$	$ar-a$	$V_{R(A)}$	—
AR: 全体	S_{AR}	$ar-1$	—	—

一元配置で、各処理群の反復数が等しいとき、一般に都合がよいが、 $r_i \neq r_{i'}$ と異なるとき、 $n = \sum r_i$ を全例数とし、 $S_A = \sum T_i^2/r_i - CF$ 、残差自由度を $[n-ar]$ と変更すればよい。

観測単位が、互いに類似した b グループに分かれるとき、これらを $B_1, \dots, B_j, \dots, B_b$ のブロックとして、 $n=ab$ に無作為に $A_1, \dots, A_i, \dots, A_a$ を割りつける代わりに、各ブロック B_j ごとに a 水準の処理を無作為化する。これを、乱塊法とい

うが、AとBの2因子でデータが分類されているので、二元配置と呼んでいることが多い。

$$y_{ij} = \eta + \alpha_i + \beta_j + \epsilon_{ij}$$

のモデルを考えるわけで、データは、2方向で抑えられる。

	B ₁	…	B _j	…	B _b	
A ₁	y ₁₁	…	…	…	y _{ab}	T _{A1}
⋮	⋮	⋮	⋮	⋮	⋮	⋮
A _i	⋮	⋮	y _{ij}	⋮	⋮	T _{Ai}
⋮	⋮	⋮	⋮	⋮	⋮	⋮
A _a	y _{a1}	…	…	…	y _{ab}	T _{Aa}
	T _{B1}	…	T _{Bj}	…	T _{Bb}	T _G

一元配置の場合と類似の方法で、

$$CF = \frac{T_G^2}{ab}$$

$$S_{AB} = \sum_i \sum_j y_{ij}^2 - CF [ab-1]$$

$$S_A = \frac{1}{b} \sum_i T_{Ai}^2 - CF [a-1] \quad (85)$$

$$S_B = \frac{1}{a} \sum_j T_{Bj}^2 - CF [b-1]$$

$$S_{A \times B} = S_{AB} - S_A - S_B \quad [(a-1)(b-1)]$$

ここに $S_{A \times B}$ は、誤差項であるが、形式上は $A \times B$ を交互作用といい、特別な A_i と B_j の出あいでは、 $y_{ij} = \eta + \alpha_i + \beta_j + (\alpha\beta)_{ij} + \epsilon_{ij}$ と特別な効果 $(\alpha\beta)_{ij}$ が加わることの表現である。この二元配置のモデルでは、 $S_{A \times B}$ を流用して誤差相当の残差を示すが、本質的な交互作用は存在しないものとする。

式(85)の値から、分散分析表は、

要因	SS	Df	Ms	F ₀
A	S _A	a-1	V _A	V _A /V _{A \times B}
B	S _B	b-1	V _B	V _B /V _{A \times B}
A × B	S _{A \times B}	(a-1)(b-1)	V _{A \times B}	—
AB	S _{AB}	ab-1	—	—

Ms は、平方和／自由度の分散である。F₀ は A と B について求められ、普通は処理効果の比較に関

心があり、 $F_0(A) = V_A/V_{A \times B} \geq F_a[(a-1), (a-1) \times (b-1)]$ のとき有意とする。ブロックの一様性をみるには、第1自由度を (b-1) とする。

対応のない2群比較のデータは a=2 の一元配置として扱うと、 $t_0^2 = F_0$ となり、まったく同義になる。対応のある2群比較のデータの場合、差として、1標本 t 検定を行なうと、これは、a=2 の二元配置と同義になる。

【例 16】

二元配置のデータがある。

	B ₁	B ₂	B ₃	B ₄	
A ₁	5	10	5	6	26
A ₂	6	9	7	7	29
A ₃	9	13	11	12	45
	20	32	23	25	100

まず、本来は正しくないが、ブロックを無視した一元配置で考えると、

$$CF = \frac{100^2}{3 \times 4} = 833,333$$

$$S_{AR} = 916 - CF = 82.6667$$

$$S_A = \frac{1}{4} \times 3542 - CF = 52.1667 \quad [2]$$

$$S_{R(A)} = 82.6667 - 52.1667 = 30.50000 \quad [9]$$

$$V_A = \frac{S_A}{2} = 26.0834$$

$$V_{R(A)} = \frac{S_{R(A)}}{6} = 6.1000 \quad SD = \sqrt{6.1000}$$

$$F_0 = \frac{26.0834}{6.1000} = 4.276$$

F₀ は $F_{0.05}[2, 9] = 4.256$ より大きく、5% 水準で有意である。SD = $\sqrt{V_{R(A)}} = 2.470$ である。

二元配置としては、 $S_{AB} = S_{AR} = 82.6667$ であり、 $S_B = 2574/3 - CF = 26.000$ を求め、 $S_{A \times B} = S_A - S_B = 4.5500$ となる。

誤差ないし残差に含まれていた B を取り出したので、一元配置と比べて、 $F_0(A) = 34.397$ と非常に大きくなり、SD = $\sqrt{V_{A \times B}} = 0.871$ となり、いず

要因	SS	Df	Ms	F ₀
A	52.1667	2	26.0834	34.397
B	26.0000	3	8.6667	11.429
A × B	4.5500	6	0.7583	—
AB	82.6667	11	—	—

れの処理平均値でも $SE = 0.871/\sqrt{4} = 0.436$.

一元配置でも二元配置でも、処理 A が有意となつた段階では、どれとどれとが異なるかは、はつきりしない。これを明らかにするには、節 9 で述べた多重比較の手法が必要となる。

乱塊法で、各ブロックごとに順位づけをしたうえ、各処理ごとに和をとり、 T_i としたとき、同位の組の修正を行ない、

$$K = 1 - \frac{\sum (t^3 - t)}{b(a^3 - a)} \quad (86)$$

$$z_0^2 = \frac{6}{\kappa} \left\{ \frac{1}{T_G} \sum T_i^2 - \frac{1}{a} T_G \right\} \geq z_a^2 [a - 1]$$

のとき有意で、処理効果の一様性を否定する方法がある。これは Freedman の検定であるが、効率はあまりよくない。上の例では同位なしで、 $\kappa=1$ 、 $z_0^2 = 6.500 > z_{0.05}^2[2] = 5.991$ で有意となる。

20. 最小 2 乗法

線形モデルについては節 18 に紹介したが、 $O_n\{x_i, y_i\}$ のデータに直線回帰モデル、

$$y_i = \beta_0 + \beta_1 x_i + \varepsilon_i \quad (87)$$

をあてはめることを例に、最小 2 乗法を整理してみる。ベクトルや行列の扱いが盛んに出てくるが、まず、2 つのベクトル、

$$\mathbf{a} = \begin{bmatrix} a_1 \\ \vdots \\ a_i \\ \vdots \\ a_n \end{bmatrix} \quad \mathbf{b} = \begin{bmatrix} b_1 \\ \vdots \\ b_i \\ \vdots \\ b_n \end{bmatrix}$$

が角度 θ を挟むとき、スカラー積、内積、

$$\mathbf{a}'\mathbf{b} = [\mathbf{a}'\mathbf{b}]' = \mathbf{b}'\mathbf{a} = \sum_{i=1}^n a_i b_i$$

$$= \|\mathbf{a}\| \cdot \|\mathbf{b}\| \cos \theta$$

が定義され、要素の積和になる。 \mathbf{a}' は転置、 $\|\mathbf{a}\|$ はノルムを示し、

$$\mathbf{a}' = \begin{bmatrix} a_1 \\ \vdots \\ a_i \\ \vdots \\ a_n \end{bmatrix}' = [a_1 \dots a_i \dots a_n]$$

$$\|\mathbf{a}\| = \sqrt{\mathbf{a}'\mathbf{a}} = \sqrt{\sum_{i=1}^n a_i^2}$$

である。

このスカラー積の約束で、式 (87) は、

$$y_i = [1, x_i] \begin{bmatrix} \beta_0 \\ \beta_1 \end{bmatrix} + \varepsilon_i$$

となる。 $\mathbf{y} = [y_1 \dots y_n]', \mathbf{j} = [1 \dots 1]', \mathbf{x} = [x_1 \dots x_n]', \boldsymbol{\varepsilon} = [\varepsilon_1 \dots \varepsilon_n]'$ と $(n \times 1)$ のタテベクトルと回帰係数ベクトル $\boldsymbol{\beta} = [\beta_0 \beta_1]'$ 、さらに $(n \times 2)$ の行列 $\mathbf{X} = [\mathbf{j} \mathbf{x}]$ を用意し、全データを、

$$\mathbf{y} = [\mathbf{j} \mathbf{x}] \boldsymbol{\beta} + \boldsymbol{\varepsilon} = \mathbf{X} \boldsymbol{\beta} + \boldsymbol{\varepsilon} \quad (88)$$

と書く。 \mathbf{X} の転置はタテの列をヨコの行に並べかえて、 $(n \times 2)$ を $(2 \times n)$ に変えることで、

$$\mathbf{X}' = [\mathbf{j} \mathbf{x}]' = \begin{bmatrix} \mathbf{j}' \\ \mathbf{x}' \end{bmatrix}$$

誤差項について、(i) $E\{\varepsilon_i\} = 0$ の不偏性、(ii) $V\{\varepsilon_i\} = \sigma^2$ の等分散性、(iii) $C\{\varepsilon_i, \varepsilon_j\} = 0$ の独立性のもとに、 $Q = \boldsymbol{\varepsilon}'\boldsymbol{\varepsilon} = \sum \varepsilon_i^2$ を最小にする $\hat{\boldsymbol{\beta}} = [\hat{\beta}_0 \hat{\beta}_1]'$ を求めるのが最小 2 乗法でこの解には統計的に好ましい性質 (BLUE) がある。さらに(iv) $\varepsilon_i \in N(0, \sigma^2)$ の正規性があれば、検定や区間推定が容易に行なえる。 $E\{*\}, V\{*\}, C\{*\}$ は、平均値、分散、共分散を示す。

$$Q = \boldsymbol{\varepsilon}'\boldsymbol{\varepsilon} = [\mathbf{y} - \mathbf{X} \boldsymbol{\beta}]'[\mathbf{y} - \mathbf{X} \boldsymbol{\beta}]$$

$$= \mathbf{y}'\mathbf{y} - 2\boldsymbol{\beta}'\mathbf{X}'\mathbf{y} + \boldsymbol{\beta}'\mathbf{X}'\mathbf{X}\boldsymbol{\beta} \quad (89)$$

を最小化するが、 $[\mathbf{y}'\mathbf{X}\boldsymbol{\beta}]' = \boldsymbol{\beta}'\mathbf{X}'\mathbf{y}$ である。

$$\frac{\partial Q}{\partial \boldsymbol{\beta}} = -2\mathbf{X}'\mathbf{y} + 2\mathbf{X}'\mathbf{X}\boldsymbol{\beta} \quad (90)$$

と微分し、これを $\mathbf{0}$ とおくが、 $[\mathbf{X}'\mathbf{X}]' = \mathbf{X}'\mathbf{X}$ とこ

の (2×2) の行列は対称で、さらにその行列式が $|X'X| \neq 0$ であれば、

$$[X'X]^{-1}[X'X] = I = \begin{bmatrix} 1 & 0 \\ 0 & 1 \end{bmatrix} \quad (91)$$

となる逆行列 $[X'X]^{-1}$ が存在するから、式(90)から $X'X\hat{\beta}=X'y$ の正規方程式と呼ばれるものをつくり、これに $[X'X]^{-1}$ を前から乗じて、

$$\hat{\beta} = [X'X]^{-1}X'y \quad (92)$$

の最小2乗解 $\hat{\beta} = [\hat{\beta}_0 \hat{\beta}_1]'$ を得る。Iはベクトルや行列においてはスカラーの1にあたる単位行列である。

$\hat{\beta}$ を式(89)に代入し、最小のQは、

$$\begin{aligned} Q\{\hat{\beta}\} &= y'y - 2\hat{\beta}'X'y + \hat{\beta}'X'X[X'X]^{-1}X'y \\ &= y'y - \hat{\beta}'X'y \end{aligned} \quad (93)$$

となる。これは残差平方和と呼ばれる。

誤差自由度は、n個のデータから2個のパラメーターを推定したから $[n-2]$ で誤差相当の残差分散は、

$$V_R = \frac{Q\{\hat{\beta}\}}{n-2}, \quad E\{V_R\} = \sigma^2 \quad (94)$$

パラメーターの分散と共分散は、

$$V\{\hat{\beta}\} = \begin{bmatrix} V\{\hat{\beta}_0\} & C\{\hat{\beta}_0 \hat{\beta}_1\} \\ C\{\hat{\beta}_0, \hat{\beta}_1\} & V\{\hat{\beta}_1\} \end{bmatrix} = \sigma^2 [X'X]^{-1} \quad (95)$$

となる。

以上の議論は、より一般的な線形モデル、

$$\begin{aligned} y_i &= \beta_0 + \beta_1 x_{i1} + \cdots + \beta_p x_{ip} + \cdots \\ &\quad + \beta_p x_{ip} + \varepsilon_i \end{aligned} \quad (96)$$

にも拡張できるが、 $X = [x_1 \cdots x_p]$ で $[X'X]$ は $\{(p+1) \times (p+1)\}$ と大きくなり、 V_R の自由度も $[n-p-1]$ と変わると、 $n > (p+1)$ としておく。

式(96)で、 y_i が第i例での全般重症度であり、 x_{i1}, \dots, x_{ip} が標的状況ごとの重症度であれば、 $O_n\{(x_{i1}, \dots, x_{ip}), y_i\}$ の多特性データについて求めた $\hat{\beta} = [\hat{\beta}_0 \hat{\beta}_1 \cdots \hat{\beta}_p]'$ は、ある意味で、各標的症

状の重要性を示している。各症状間に関連があれば、一定の規準によって、重要なもののだけを選び出す手法も用意され、こうしたものは重回帰分析と呼ばれる。

目的変数 y_i が大きな値では信頼性が低いという事情があれば、 $w_i = 1/y_i, 1/\hat{y}_i$ 、とか $w_i = 1/y_i^2, 1/\hat{y}_i^2$ などの重みづけをして扱うこともある。この重みを要素とした対角行列、

$$W = \begin{bmatrix} w_1 & & & & \mathbf{0} \\ \vdots & \ddots & & & \\ & & w_1 & & \\ & & & \ddots & \\ \mathbf{0} & & & & w_n \end{bmatrix},$$

$$W^{1/2} = \begin{bmatrix} \sqrt{w_1} & & & & \mathbf{0} \\ \vdots & \ddots & & & \\ & & \sqrt{w_1} & & \\ & & & \ddots & \\ \mathbf{0} & & & & \sqrt{w_n} \end{bmatrix}$$

を約束したうえ、式(96)に $\sqrt{w_i}$ を乗じ、

$$\begin{aligned} \sqrt{w_i}y_i &= \sqrt{w_i}(\beta_0 + \beta_1 x_{i1} + \cdots + \beta_p x_{ip}) + \sqrt{w_i}\varepsilon_i \\ W^{1/2}y &= [W^{1/2}X]\hat{\beta} + W^{1/2}\varepsilon \end{aligned}$$

とし、式(89)以下に準じて、

$$\begin{aligned} [X'W^{1/2}W^{1/2}X]\hat{\beta} &= X'W^{1/2}W^{1/2}y \\ \hat{\beta} &= [X'WX]^{-1}X'Wy \\ Q\{\hat{\beta}\} &= y'Wy - \hat{\beta}'X'Wy \\ V\{\hat{\beta}\} &= \sigma^2 [X'WX]^{-1} \end{aligned} \quad (97)$$

となる。

パラメーター $\hat{\beta}$ を用いて、 y の予測値 $\hat{y} = X\hat{\beta}$ を得るが、 X の第i行 $x_{i \cdot} = [1 x_{i1} \cdots x_{ip}]$ を用いること、

$$\hat{y}_i = x_{i \cdot}'\hat{\beta}$$

$$\begin{aligned} V\{\hat{y}_i\} &= \sigma^2 x_{i \cdot}' [X'X]^{-1} x_{i \cdot} \text{ ないし,} \\ &= \sigma^2 x_{i \cdot}' [X'WX]^{-1} x_{i \cdot} \end{aligned} \quad (98)$$

となる。重みなしでは $I = W$ とおいたことに相当する。

21. 直線回帰

$O_n\{x_i, y_i\}$ に直線をあてはめるにあたり、 y_i は x_i と関係なく、平均値 η のまわりにばらつくというモデルを並べると、

$$\begin{cases} \omega: y_i = \eta + \varepsilon_i \\ Q: y_i = \beta_0 + \beta_1 x_i + \varepsilon_i \end{cases} \quad (99)$$

となる。 ε_i はそれぞれで意味が異なる。 Q では、いわば平均値 ($\beta_0 + \beta_1 x_i$) のまわりに y_i がばらついているとみられる。

モデル ω は単純な線形モデルで、式(88)の表現では、 X が j に退化し、

$$y = j\eta + \varepsilon = \eta j + \varepsilon \quad (100)$$

となる。式(92)以下を用い、 $j'j = \sum 1 \times 1 = n$, $j'y = \sum 1 \times y_i$, $y'y = \sum y_i^2$ などに注意し、

$$\begin{aligned} \hat{\eta} &= [j'j]^{-1}j'y = n^{-1} \sum y_i = \bar{y} \\ Q\{\hat{\eta}\} &= y'y - \hat{\eta}j'y = \sum y_i^2 - n\bar{y}^2 = S_{yy} \\ V_R &= \frac{Q\{\hat{\eta}\}}{n-1} = \frac{S_{yy}}{n-1} = V \\ V\{\hat{\eta}\} &= V\{\bar{y}\} = \sigma^2[j'j]^{-1} = \frac{\sigma^2}{n} = SE\{\bar{y}\} \end{aligned} \quad (101)$$

などを得る。いずれも、これまでに何回も利用した性質である。

モデル式(99)の Q では少々ややこしいが、

$$\begin{aligned} [X'X]^{-1} &= \begin{bmatrix} j'j & j'x \\ x'j & x'x \end{bmatrix}^{-1} = \begin{bmatrix} n & \sum x_i \\ \sum x_i & \sum x_i^2 \end{bmatrix}^{-1} \\ &= \begin{bmatrix} \frac{1}{n} + \frac{\bar{x}}{S_{xx}} & -\frac{\bar{x}}{S_{xx}} \\ -\frac{\bar{x}}{S_{xx}} & \frac{1}{S_{xx}} \end{bmatrix} \quad (102) \\ [X'y] &= \begin{bmatrix} j' \\ x' \end{bmatrix} y = \begin{bmatrix} \sum y_i \\ \sum x_i y_i \end{bmatrix} \end{aligned}$$

としたうえ、式(62)で、 x と y との直線的なかかわり、共変動を、

$$S_{xy} = \sum x_i y_i - n\bar{x}\bar{y} = \sum x_i y_i - \frac{(\sum x_i)(\sum y_i)}{n}$$

と定義したことを用いると、 $\hat{\beta} = [X'X]^{-1}X'y$ の具

体的な値は、

$$\hat{\beta} = \begin{bmatrix} \hat{\beta}_0 \\ \hat{\beta}_1 \end{bmatrix} = \begin{bmatrix} \bar{y} - \frac{S_{xy}}{S_{xx}} \bar{x} \\ \frac{S_{xy}}{S_{xx}} \end{bmatrix} \quad (103)$$

となる。切片 $\hat{\beta}_0$ を勾配 $\hat{\beta}_1 = S_{xy}/S_{xx}$ で表現し、

$$\hat{y} = \bar{y} - \hat{\beta}_1 \bar{x} + \hat{\beta}_1 x \quad (104)$$

の直線回帰式を得る。

式(93)の最小の残差平方和は、

$$\begin{aligned} Q\{\hat{\beta}\} &= \sum y_i^2 - (n\bar{y}\hat{\beta}_0 + \hat{\beta}_1 \sum x_i y_i) \\ &= \sum y_i^2 - (n\bar{y}^2 - \hat{\beta}_1 n\bar{x}\bar{y} + \hat{\beta}_1 \sum x_i y_i) \\ &= S_{yy} - \hat{\beta}_1 S_{xy} \end{aligned} \quad (105)$$

となる。

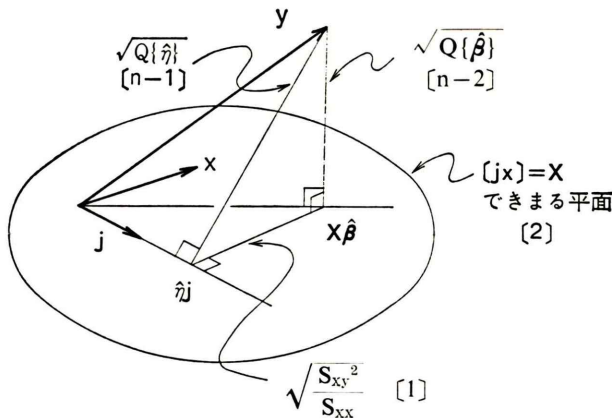
図5に示すように、 y, j, x をとり、 y から j 上に垂線をおろした点が j であり、 y から $[j x]$ で定まる平面上に垂線をおろした点が $X\hat{\beta}$ である。したがって、 $j[j'j]^{-1}j'$ および $X[X'X]^{-1}X'$ は、 y を j 上および $[j x]$ 上に正射影する働きをもつ($n \times n$)の行列である。いずれも対称で、2乗しても同じである(べき等)という性質をもっている。 $\|y\|^2 = \|j\|^2 + Q\{\hat{\eta}\}$ のピタゴラスの定理は、 $\sum y_i^2 = n\bar{y}^2 + Q\{\hat{\eta}\}$ で、式(101)の $Q\{\hat{\eta}\} = S_{yy}$ を意味する。

Q では、 $\{y_i\}$ のばらつきは、 $\beta_1 x_i$ と表現される、 x_i につられて動く部分と、誤差項 ε_i による部分から成る。 ω では $\{y_i\}$ のばらつきは、すべて誤差項 ε_i とした。それぞれの残差平方和は、式(101), (105)から、

$$\begin{cases} \omega: Q\{\hat{\eta}\} = S_{yy} & [n-1] \\ Q: Q\{\hat{\beta}\} = S_{yy} - \frac{S_{xy}^2}{S_{xx}} & [n-2] \end{cases} \quad (106)$$

であるが、 $S_{xy}^2/S_{xx} \geq 0$ で、 ω に $\beta_1 x_i$ を加えた Q では残差平方和が一般に小さくなり、この減少分 S_{xy}^2/S_{xx} が勾配 β_1 の手柄になり、 S_{yy} のうち x の直線的影響で説明できる部分が減少分とみられる。図5の j から $X\hat{\beta}$ までの長さの2乗がこれにあたる。

$Q\{\hat{\beta}\}$ は $S_{yy} - S_{xy}^2/S_{xx}$ として求めたうえ、以上をまとめると、

図 5 ω と Q のモデル

要因	SS	Df	Ms
直線性 L	S_{xy}^2 / S_{xx}	1	$V_L = S_{xy}^2 / S_{xx}$
残 差 R	$Q\{\hat{\beta}\}$	$n-2$	$V_R = Q\{\hat{\beta}\} / (n-2)$
全 体 Y	S_{yy}	$n-1$	—

$H_0: \beta_1 = 0, H_1: \beta_1 \neq 0$ の検定は,

$$F_0 = \frac{V_L}{V_R} \geqq F_\alpha[1, n-2] = \{t_\alpha[n-2]\}^2 \quad (107)$$

のときに有意で、直線性を認める。もう少し厳密に“直線性”を扱うには、2次、3次、…の項が無視できることを検討する。

式(95)から $V\{\hat{\beta}_1\} = \sigma^2 / S_{xx}$ であるから、 $\hat{\beta}_1$ のノイズを $SE\{\hat{\beta}_1\} = \sqrt{V_R / S_{xx}}$ として、

$$t_0 = \frac{|\hat{\beta}_1 - 0|}{\sqrt{V_R}} \sqrt{S_{xx}} \quad (108)$$

$$\beta_{1L}^U = \hat{\beta}_1 \pm t_\alpha[n-2] \sqrt{\frac{V_R}{S_{xx}}}$$

$t_0 \geqq t_\alpha[n-2]$ で有意ならば、 $[\beta_{1L}, \beta_{1U}]$ はゼロを含まない。 t_0^2 は式(107)の F_0 と完全に一致するはず。

形式的に、x と y と交換して、

$$\hat{x}_i = \beta_0' + \beta_1'y_i + \varepsilon_i'$$

と y に対する x の回帰式が考えられる、これについての F 検定、 $\hat{\beta}_1'$ の t 検定も、上述とまったく同じ結果になるが、一般に $\hat{\beta}_1 \neq \hat{\beta}_1'$ である。

$\{y_i\}$ のばらつきを変動 S_{yy} で表現すると、その一部は直線性で説明できる。その割合を関与率または、x で決定されるという意味で決定係数といい、

$$r^2 = \frac{S_{xy}^2}{S_{xx}S_{yy}} = \hat{\beta}_1\hat{\beta}_1' \quad (109)$$

とする。形式上は、 $\{x_i\}$ のばらつきのうち、y で決定される部分の割合とも考えられる。

回帰式では、独立変数 x で従属変数 y を説明しているが、x と y の直線的な相互関連性を示すのに、(单)相関係数ないし Pearson の積率相関係数、

$$r = \frac{S_{xy}^2}{\sqrt{S_{xx}S_{yy}}} \quad (110)$$

が用いられ、 $H_0: \rho=0, H_1: \rho \neq 0$ を無相関の検定といい、

$$t_0 = |r| \sqrt{\frac{n-2}{1-r^2}} \geqq t_\alpha[n-2] \quad (111)$$

のとき有意である。この t_0 は式(108)の t_0 と同じくなる。式(111)をみればすぐわかるように、 $|r|$ が小さくても、n が大きくなると、容易に有意になるので、直線性あり、とか相関性あり、とかの結論は、現実的にはあまり意味がなく、むしろ r^2 について考えた方がよいと思われる。

対応のない 2 群のデータをヨコ軸の 0, 1 の座標にそれぞれプロットして、形式的に直線、をあてはめ、式(108), (111)の t_0 を求めると、平均値

の比較の t 検定の式 (72) の t_0 と正確に一致する。

【例 17】

$O_{11}\{x_i, y_i\}$ のデータがある。

x	1	2	2	3	4	4	5	6	6	7	8	48
y	2	1	4	6	4	5	7	7	9	9	9	63

$\bar{x} = 4.3636$, $\bar{y} = 5.7273$, $S_{xx} = 50.5454$, $S_{yy} = 78.1818$, $S_{xy} = 57.0909$, $\hat{\beta}_1 = 1.1295$ などを得る。これらから、

要因	SS	Df	Ms	F ₀
L	64.4840	1	64.4840**	42.368
R	13.6978	9	1.5220	—
Y	78.1818	10	—	—

$t_{0.05}[9] = 2.262$ で、式 (108) からは、

$$\begin{aligned}\beta_{1L}^U &= 1.1295 \pm 2.262 \sqrt{\frac{1.5220}{50.5454}} \\ &= 0.737; 1.522\end{aligned}$$

また、 $t_0 = 6.509$ で、 $t_0^2 = 42.368 = F_0$ である。

$$r^2 = \frac{57.0909^2}{50.5454 \times 78.1818} = 0.8248$$

で、y の変動の 82.5% は直線性で説明される。無相関の検定では、

$$t_0 = \sqrt{0.8248} \cdot \sqrt{\frac{9}{1 - 0.8248}} = 6.509$$

回帰式は、 $\bar{y} - \hat{\beta}_1 \bar{x} = 0.799$ を計算し、

$$y = 0.799 + 1.130x$$

ここで、ある値 x^* を指定したとき、そこでの予測値 \hat{y}^* の $100(1-\alpha)\%$ 信頼限界は、式 (98) の考え方方に沿って、

$$\begin{aligned}\eta_{1L}^{*U} &= \hat{y} + \hat{\beta}_1(x^* - \bar{x}) \\ &\pm t_{\alpha/2}[n-2] \sqrt{V_R \left\{ \frac{1}{n} + \frac{(x^* - \bar{x})^2}{S_{xx}} \right\}}\end{aligned}\quad (112)$$

となる。 \hat{y}^* のまわりの個体に関しては、根号内が $[V_R \{1 + 1/n + (x^* - \bar{x})^2/S_{xx}\}]$ となる。いざれにしても $x^* = \bar{x}$ のとき区間幅が最小になる。

散点図と、 x^* の断面について 95% の信頼係数を保証したときの 2 種類の信頼域を図 6 に示す。

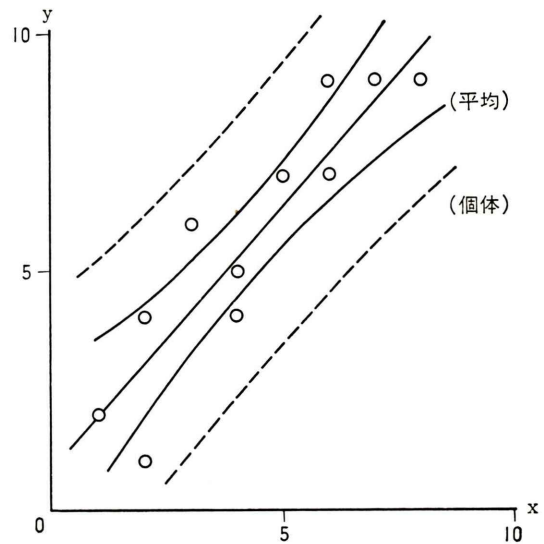


図 6 直線回帰

式 (110) に、なまデータではなくし、 x と y それぞれでの順位を用いた場合、Spearman の順位相関係数 (ρ) となる。順位づけをして、対応するペアの差 d_i をとると $\sum d_i = 0$ となる。各群内の同位のそれにつき、

$$\tau = \sum (t^3 - t)$$

を求めてプールしたものを τ_x, τ_y とする。

$$D = 6 \sum d_i^2, \quad A = n^3 - n$$

$$r_s = \frac{A - 0.5(\tau_x + \tau_y) - D}{\sqrt{(A - \tau_x)(A - \tau_y)}} \quad (113)$$

$$= 1 - \frac{D}{A} \quad (\text{同位なし})$$

無相関の検定には式 (111) を用いる。

上のデータでは $\sum d_i^2 = 17$, $\tau_x = 3 \times 6 = 18$, $\tau_y = 2 \times 6 + 24 = 36$, $A = 1320$ で、Spearman の相関係数は、 $r_s = 0.9211$ となる。

22. 非線形モデル

ある関数が、

$$f(\mu x + \zeta z) = \mu f(x) + \zeta f(z) \quad (114)$$

と書けるとき線形というが、これまでに扱ったモデルは線形である。

$$y = \exp \{ \alpha x + \beta x^2 + \varepsilon \}$$

は、 $Y = \ln y$ とおけば、

$$Y = \alpha x + \beta x^2 + \varepsilon = \alpha X_1 + \beta X_2 + \varepsilon$$

となり、本質的には線形である。

$$y = \exp \{ \alpha x + \beta x^2 \} + \varepsilon$$

$$y = Ae^{-\alpha x} + Be^{-\beta t} + \varepsilon$$

$$y = \frac{\alpha}{1+(\beta/x)} + \varepsilon$$

などは、いずれも非線形である。

線形モデル式(96)は、

$$y_i = f(x_i; \beta) + \varepsilon_i = f_i(\beta) + \varepsilon_i$$

$$y = f(\beta) + \varepsilon$$

と書くと、 $f(\beta)$ は $f_i(\beta)$ を要素としたベクトルで、最小2乗解は、

$$Q\{\beta\} = [y - f(\beta)]' [y - f(\beta)]$$

を最小にするパラメター、

$$\hat{\beta} = [\mathbf{X}' \mathbf{X}]^{-1} \mathbf{X}' y$$

として与えられる。

ところが、 $f_i(\beta)$ が非線形のときには、このように調子よくはいかない。いま2つのパラメターをもつ非線形式 $f_i(\beta_1, \beta_2)$ について、 β_1, β_2 を指定すれば、 $f_i(\beta)$ が定まり、

$$Q\{\beta\} = \sum_{i=1}^n \{y_i - f_i(\beta)\}^2 \quad (115)$$

が計算できる。さまざまな $\{\beta_1, \beta_2\}$ の組み合わせにつき式(115)を計算し、最小値を含む領域について、図7のような“地形”ができる。

$\{\beta_1, \beta_2\}$ を、あらゆる組合せで計算するのも大変であるから、まず、適当な β_0 を定めて、 $Q\{\beta_0\}$ を求め、ここで β_2 を留めて、 β_1 を変え $Q\{\beta\} < Q\{\beta_0\}$ かつ最小となる β_1 を探す。ついで、 β_1 をそこに留めて、 β_2 を変えて $Q\{\beta\}$ がさらに小さく、

もっとも小さくなる β_2 を探す。こうして軸ごとに探索して、すり鉢状の盆地の底に達したなら、そこを $\hat{\beta}$ とする。

出発点 β_0 が図7のように“運のいい”場所であれば右側にみると、 β_1 を動かして真西に探索すれば、1回でほとんど盆地の中心に達することができるが、 β_0 の選び方がまちいと、かなり手間はかかる。

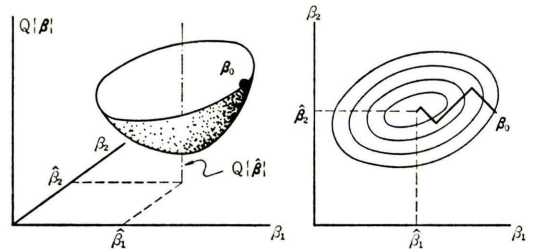


図7 $Q\{\beta\}$ の探索

もう少し一般的に、 β_0 に立ったとき東西と南北の方向にとらわれず、もっとも急な勾配に沿って下ることが考えられる。 $Q\{\beta\}$ を、 $\partial Q\{\beta\}/\partial \beta_1$ と微分し、 β_{1k} を代入することを $\partial Q_k/\partial \beta_1$ と書けば、

$$\nabla Q_k = \begin{bmatrix} \frac{\partial Q}{\partial \beta_1} \\ \frac{\partial Q}{\partial \beta_2} \end{bmatrix}_{\beta=\beta_k} = \begin{bmatrix} \frac{\partial Q_k}{\partial \beta_1} \\ \frac{\partial Q_k}{\partial \beta_2} \end{bmatrix} = \mathbf{g}_k \quad (116)$$

となる。 ∇Q_k はグラジエントと呼ばれるもので、 \mathbf{g}_k での傾斜であるが、 $\mathbf{d}_k = -\mathbf{g}_k$ の方向が最急降下の方向になる。実際は差分を用い、

$$\frac{\partial Q_k}{\partial \beta_1} \doteq \frac{Q(\beta_{1k} + \Delta, \beta_{2k}) - Q(\beta_{1k}, \beta_{2k})}{\Delta} \quad (117)$$

するが、 Δ は β_{1k} の $10^{-3} \sim 10^{-6}$ といった値である。つまり、 $\{\beta_{1k} + \Delta, \beta_{2k}\}$ と $\{\beta_{1k}, \beta_{2k}\}$ について $Q\{\beta\}$ を計算し、その差を Δ で割って、これを $\partial Q_k/\partial \beta_1$ として用いる。

最急降下で β_k から \mathbf{d}_k 方向に探索した最小値が $Q\{\beta_k + \lambda_k \mathbf{d}_k\}$ であれば、 $\beta_{k+1} = \beta_k + \lambda_k \mathbf{d}_k$ をつぎの出発点とし、そこでの最急降下を行なう。 $\mathbf{g}_k \neq 0$ とかきざみ $\lambda_k \neq 0$ とかすでに盆地の底に

達したと考える。最急降下法は、局所的には良い方法であるが、 $Q\{\beta\}$ の地形が細長い谷状になると、なかなか底まで下れないこともあるので、さらに工夫をこらした方法もある。

他の方法一般についてえるが、出発点 β_0 の選び方が悪いと、隣りの浅い窪地で終わったり、現実に β がとり得ない $\hat{\beta}$ に達したりするほか、かなり大量の計算を必要とするなど非線形モデルでの最小2乗法には、厄介な問題が少くない。いずれにしても、手計算は無理であろう。

23. 線形化の方法

非線形モデルで $f_i(\beta)$ を真の解の付近の β_k について展開して高次項を省略し、

$$f_i(\beta) \doteq f_i(\beta_k) + \left[\frac{\partial f_i}{\partial \beta_1} \dots \frac{\partial f_i}{\partial \beta_p} \right]_{\beta=\beta_k} [\beta - \beta_k]$$

とおけることが多い。パラメターは p 個ある。

$[\nabla f_i(\beta_k)]'$ を行の成分とした $(n \times p)$ の行列、

$$\mathbf{J}(\beta_k) = \mathbf{J}_k = \begin{bmatrix} \frac{\partial f_1}{\partial \beta_1} & \dots & \frac{\partial f_1}{\partial \beta_p} \\ \vdots & \ddots & \vdots \\ \frac{\partial f_n}{\partial \beta_1} & \dots & \frac{\partial f_n}{\partial \beta_p} \end{bmatrix}_{\beta=\beta_k} \quad (118)$$

をヤコビの行列というが、これと $f_i(\beta_k)$ を要素としたベクトル \mathbf{f}_k を用いると、

$$\mathbf{y} \doteq \mathbf{f}_k + \mathbf{J}_k [\beta - \beta_k] + \boldsymbol{\epsilon} \quad (119)$$

と書ける。これから、

$$\mathbf{y} - \mathbf{f}_k + \mathbf{J}_k \beta_k \doteq \mathbf{J}_k \beta + \boldsymbol{\epsilon}$$

と、式(88)の形式における、最小2乗解は、

$$\begin{aligned} \hat{\beta} &\doteq [\mathbf{J}_k' \mathbf{J}_k]^{-1} \mathbf{J}_k' [\mathbf{y} - \mathbf{f}_k] + \beta_k \\ V\{\hat{\beta}\} &\doteq \sigma^2 [\mathbf{J}_k' \mathbf{J}_k]^{-1} \end{aligned}$$

となる。式(119)で、 $\mathbf{d}_k = [\beta - \beta_k]$ とおけば、

$$\hat{\mathbf{d}}_k \doteq [\mathbf{J}_k' \mathbf{J}_k]^{-1} \mathbf{J}_k' [\mathbf{y} - \mathbf{f}_k] \quad (120)$$

となる。 $\hat{\mathbf{d}}_k$ を β_k での下降ベクトルとみて、最小の $Q\{\hat{\beta}\}$ をあたえる解を、

$$\hat{\beta} \doteq \beta_{k+1} = \beta_k + \hat{\mathbf{d}}_k \quad (121)$$

とすることで、反復法が組み立てられるが、これが **Gauss 法 (Gauss-Newton 法)** である。重みを用いて、式(97)の形式で扱ってもよい。

理論的に $\hat{\mathbf{d}}_k$ は下降方向ではあるが、さまざまな条件で式(121)の反復が収束しなかったり、計算できなかったりすることがある。

$$\beta_{k+1} = \beta_k + \lambda_k \hat{\mathbf{d}}_k$$

として、最小値を与える λ_k を求める方法や、式(120)に加工して、

$$\hat{\mathbf{d}}_k = [\mathbf{J}_k' \mathbf{J}_k + \mu \mathbf{I}]^{-1} \mathbf{J}_k' [\mathbf{y} - \mathbf{f}_k] \quad (122)$$

とし、 $[\mathbf{J}_k' \mathbf{J}_k]$ の対角要素に $\mu > 0$ を加えて計算する方法がある (Levenberg-Marquardt の原理)、 μ を非常に大きくすると収束は遅くなるが、 \mathbf{d}_k は β_k での最急降下の方向に近づくという性質がある。どのくらいの μ が良いかは、むしろ経験的に定められるが、 $\mu=0$ の本来の Gauss 法で不都合など、大きな μ をのせて反復し、しだいに μ を減らし、十分に収束したら $\mu=0$ として成功することがある。

考え方を変えて、 $Q\{\beta\}$ の展開を行ない、 $(n \times p)$ のヘッセの行列

$$\mathbf{H}(\beta_k) = \mathbf{H}_k = \begin{bmatrix} \frac{\partial^2 f_1}{\partial \beta_1 \partial \beta_1} & \dots & \frac{\partial^2 f_1}{\partial \beta_1 \partial \beta_p} \\ \vdots & \ddots & \vdots \\ \frac{\partial^2 f_n}{\partial \beta_p \partial \beta_1} & \dots & \frac{\partial^2 f_n}{\partial \beta_p \partial \beta_p} \end{bmatrix}_{\beta=\beta_k} \quad (123)$$

を用いて、

$$Q\{\beta\} \doteq Q\{\beta_k\} + \mathbf{d}_k' \nabla Q_k + \frac{1}{2} \mathbf{d}_k' \mathbf{H}_k \mathbf{d}_k$$

$$\frac{\partial Q}{\partial \beta} \doteq \nabla Q_k + \mathbf{H}_k \mathbf{d}_k$$

$$\hat{\mathbf{d}}_k = -\mathbf{H}_k^{-1} \nabla Q_k = \mathbf{H}_k^{-1} (-\mathbf{g}_k)$$

によって下降ベクトルが求められる。最急勾配は式(116)で \mathbf{g}_k としたが、最急降下法では $\mathbf{d}_k = -\mathbf{g}_k$ を選んだ。この式(124)では \mathbf{H}_k^{-1} が、各軸での計量単位を修飾する姿でかかわり、一種の最急下方の加速になっている。これが **Newton 法**

(Newton-Raphson 法)と呼ばれる。収束が悪いときは、Gauss 法で用いたような変法が利用される。

【例 18】

ラットに Hippuran ^{125}I を静注し、連続的に頭部でモニターし、5分ごとの計測を行なった。

i	1	2	3	4	5	6
分	5	10	15	20	25	30
cpm	1,000	626	440	315	235	173
i	7	8	9	10	11	12
分	35	40	45	50	55	60
cpm	148	124	103	93	83	73

まず、 $y(\text{cpm})$ を $\ln y$ としてプロットすると図 8(1) の○を得る。

$$y_i = \sum M e^{-\mu t_i} + \varepsilon_i$$

の区画モデルを考え、第 6(30 分)～第 12(60 分)の $\ln y$ に直線式

$$\ln y_B = \ln B - \beta t \doteq \ln 400 - 0.03 t$$

をあてはめ、いわゆる β 相を、

$$y_B = Be^{-\beta t} \doteq 400e^{-0.03t}$$

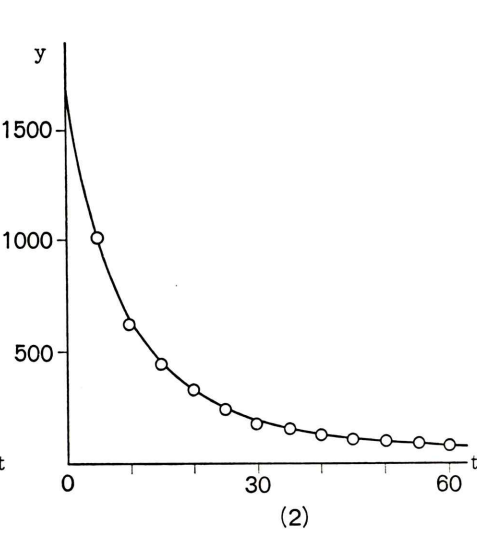
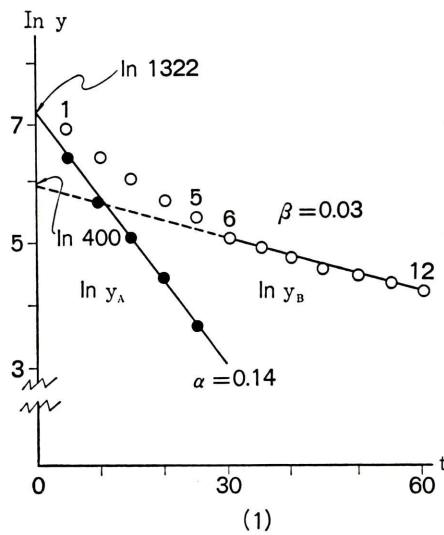


図 8

とする。ついで、第 1(5 分)～第 5(25 分)の、もとの y から y_B の計算値を引き、

$$y_A = y - y_B = Ae^{-\alpha t}$$

とし、あらためて $\ln y_A$ をプロットし、●を得るが、ほぼ直線的で、

$$\ln y_A = \ln A - \alpha t \doteq \ln 1322 - 0.14 t$$

となる。もしも $\ln y_A$ が直線でなければ、第 5(25 分)のデータ側から直線をあてはめ、上記の要領で“皮むき”を続け、区画数を増す。このデータでは 2 区画モデル、

$$y = y_A + y_B + \varepsilon = Ae^{-\alpha t} + Be^{-\beta t} + \varepsilon \quad (125)$$

でよさそうである。

初期値を $\beta_0 = [1322 \ 0.14 \ 400 \ 0.03]'$ とおいて Gauss 法を用いると、 $Q\{\beta_0\} = 996.2734$ で、3 回の反復でかなり安定し、 $\hat{\beta} = \beta_4$ で終了し、 $Q\{\hat{\beta}\} = 432.5302$ となる。

あてはめのずれを誤差相当と考え、

$$V_R = \frac{Q\{\hat{\beta}\}}{12-4} = 54.0666$$

$[J_4' J_4]^{-1}$ の対角要素をひろい、これに V_R を乗じ

て各パラメーターの分散とし、その平方根をとれば $SE\{\hat{\beta}\}$, $\hat{\beta} = \hat{A}, \hat{\alpha}, \hat{B}, \hat{\beta}$, となる。

つぎに $w_i = 1/y_i$, および $1/y_i^2$ として同じ計算を行なうと、かなり様子がちがってくる。

	A	α	B	β	w_i
$\hat{\beta}$	1315.2	0.1198	310.4	0.02503	
$SE\{\hat{\beta}\}$	48.22	0.008759	67.9	0.004408	1
$\hat{\beta}$	1342.8	0.1099	239.5	0.02025	$\frac{1}{y_i}$
$SE\{\hat{\beta}\}$	34.58	0.006508	44.84	0.003380	y_i
$\hat{\beta}$	1341.6	0.1059	215.0	0.01842	$\frac{1}{y_i^2}$
$SE\{\hat{\beta}\}$	42.9	0.006195	34.91	0.002735	y_i^2

y の分布にもよるが、 $SE\{\beta\}$ からみると、 $1/y_i$, $1/y_i^2$ の重みがよさそうである。どのような重みがよいかは、こうした吟味と、経験によって決められるであろう。 y_i の誤差分散がわかっており、 σ_i^2 であれば、 $w_i = 1/\sigma_i^2$ ないし、 k/σ_i^2 と、分散の逆数に比例した重みを用いると、誤差は等分散になる。また $1/\hat{y}_i$, $1/\hat{y}_i^2$ なども用いられる。

24. パラメーターの比較

線形モデルあるいは線形化したモデルでの Gauss 法によるパラメーター、たとえば、 $\hat{\beta}_1, \hat{\beta}_2$ を得たとき、それぞれの分散を V_1, V_2 、誤差自由度を ν_1, ν_2 とする。

$H_0: \beta_1 = \beta_2$, $H_1: \beta_1 \neq \beta_2$ の検定にあたり、 $\hat{\beta}_1, \hat{\beta}_2$ が同一データから求められたときには、 $\nu = \nu_1 = \nu_2$ で、 $|\hat{\beta}_1 - \hat{\beta}_2|$ のノイズは、

$$SE\{\hat{\beta}_1 - \hat{\beta}_2\} = \sqrt{V_1 + V_2 - 2C}$$

であるが、 C は $C\{\beta_1, \beta_2\}$ で、 $[X'X]^{-1}$ ないしは $[J_k'J_k]^{-1}$ などの、第 1 行第 2 列、または第 2 行第 1 列の要素に V_R を乗じたものになる。誤差が少なくとも緩い正規性をもつなら、

$$t_0 = \frac{|\hat{\beta}_1 - \hat{\beta}_2|}{\sqrt{V_1 + V_2 - 2C}} \geqq t_\alpha[\nu] \quad (126)$$

のとき有意とし、必要なら反転して区間推定を行なう。

$\hat{\beta}_1, \hat{\beta}_2$ が別個のデータで求められたときは不等分散とした方が安全で、

$$t_0 = \frac{|\hat{\beta}_1 - \hat{\beta}_2|}{\sqrt{V_1 + V_2}} \quad (127)$$

を求める、節 17 の式 (76) 以下の手続きをふめばよいだろう。 $\nu_1 \leqq \nu_2$ として、

(1) $t_0 < t_\alpha[\nu_1 + \nu_2]$ では有意ではない。

(2) $t_0 > t_\alpha[\nu_1]$ では有意である。

(3) 以上で未決定なら t_0 を

$$t_\alpha^* = \frac{V_1 t_\alpha[\nu_1] + V_2 t_\alpha[\nu_2]}{V_1 + V_2}$$

と比べる。

【例 19】

例 18 の $w_i = 1$ での計算で得た $\hat{\alpha}, \hat{\beta}$ につき

	値	分散	共分散
$\hat{\alpha}$	0.1198	0.0 ⁴ 7672	
$\hat{\beta}$	0.02503	0.0 ⁴ 1943	0.0 ⁴ 3503

ただし、0.0⁴1 は 0.00001 を示す。式 (126) から

$$t_0 = \frac{|0.1198 - 0.02503|}{\sqrt{0.0^4 2609}} = 18.554$$

で、 $t_{0.05}[8] = 2.306$ より大きく、明らかに $\alpha \neq \beta$ である。

間接的な連続モニターと同時に、8 時点で採血し、血漿中の Hippurate ¹²⁵I を測定したデータがある。

i	1	2	3	4	5	6	7	8
分	5	10	20	30	40	45	50	60
cpm	1,867	1,380	907	577	378	334	289	234

これについての 2 区画モデルは $w_i = 1$ ではどうやら結果は出るが、 $w_i = 1/y_i$ では、式 (122) の変法で追いつめても、 $\mu = 0$ で発散してしまう。 $w_i = 1$ では、

$$y = 1365.9e^{-0.08938t} + 1130.6e^{-0.02827t}$$

となる。 $\hat{A}, \hat{\alpha}, \hat{B}, \hat{\beta}$ の SE は、 $\nu = 8 - 4 = 4$ で、

$$804.26, 0.04686, 902.07, 0.01309$$

と、間接法に比べて、精度が格段に悪い。また $V\{\hat{\alpha}\} = 0.0^2196$, $V\{\hat{\beta}\} = 0.0^31715$ である。

Hippuran ^{125}I は血球にも入るし、cpm/head, cpm/20 μl plasma と単位も異なるので、A や B は直接法と間接法で異なる。しかし、両者で α , β が等しいならば、都合がよい。

直接法のデータには少々精度に問題があるが、まず α について、前述の間接法でのデータを用いて、

$$t_0 = \frac{|0.1198 - 0.08938|}{\sqrt{0.0^47672 + 0.0^22196}} = 0.638$$

また β について、

$$t_0 = \frac{|0.02503 - 0.02827|}{\sqrt{0.0^41943 + 0.0^31715}} = 0.234$$

いずれも $t_{0.05}[\nu_1=4] = 2.776$ より小さく、さしあたりは、 α , β のパラメターは間接法、直接法で大きくは変わらないと考えておく。以上の2例のデータは、Am. J. Physiol. 212, 629, 1967 の論文の図から読みとったものである。